

НАБЛЮДЕНИЕ МАГНИТНОЙ ВЯЗКОСТИ СПИНОВОГО СТЕКЛА В ЭКСПЕРИМЕНТЕ ПО МАЛОУГЛОВОМУ РАССЕЯНИЮ НЕЙТРОНОВ В МАГНИТНОМ ПОЛЕ

Б.Н.Мохов

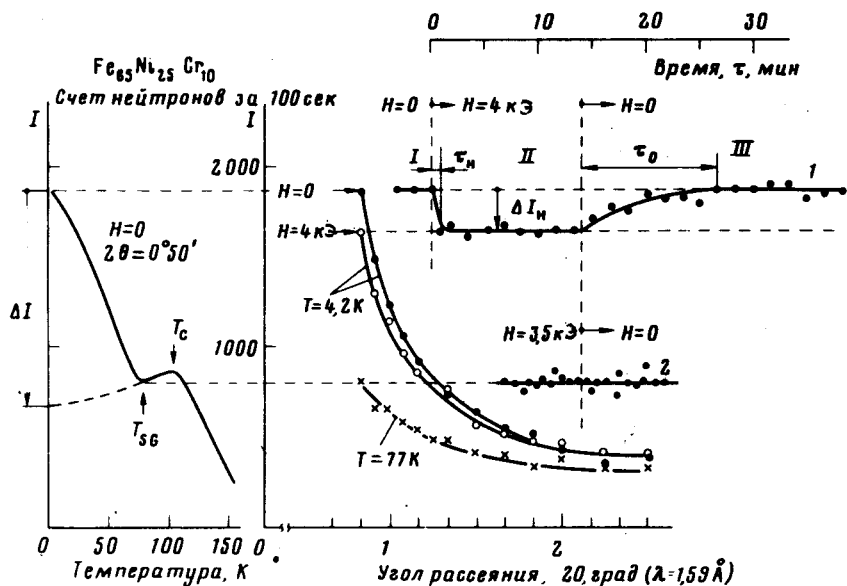
При исследовании временной зависимости малоуглового магнитного рассеяния нейтронов в спиновом стекле $Fe_{6.5}Ni_{2.5}Cr_{1.0}$ в процессе наложения и снятия магнитного поля впервые обнаружена медленная релаксация пространственных магнитных неоднородностей, обусловливающая магнитовязкое поведение системы. Возможный механизм магнитной вязкости обсуждается в свете концепции двойного перехода парамагнетик \rightarrow ферромагнетик \rightarrow спиновое стекло.

Известно, что в 3d-сплавах вблизи концентрационного ферро-антиферромагнитного перехода реализуется состояние спинового стекла¹. Магнитные фазовые диаграммы таких систем^{2, 3}, как и классических спиновых стекол⁴, характеризуются тем, что в области концентраций непосредственно за ферро магнитным порогом протекания магнитное состояние имеет двойственную природу: при понижении температуры сначала происходит переход из парамагнитного состояния в ферромагнитное (F), а затем возникает спиновое стекло (SG). Однако, пока не решен вопрос – формируется ли спиновое стекло в результате $F \rightarrow SG$ перехода по температуре^{5, 6} или оно образуется наряду с ферромагнетизмом^{7, 8}? Думается, что изучение с помощью малоуглового рассеяния нейтронов в магнитном поле характернейшего свойства спинового стекла – магнитной вязкости – даст прямые свидетельства динамики пространственной магнитной структуры и, следовательно, механизма образования спинового стекла.

Исследовался γ -фазный сплав 65 ат.% Fe, 25 ат.% Ni, 10 ат.% Cr из квазибинарного разреза $Fe_{6.5}(Ni_{1-x}Cr_x)_{3.5}$ ^{3, 9}. Съемки проводились на нейтронном дифрактометре с длиной волны 1,59 Å в гелиевом криостате со сверхпроводящим соленоидом, позволяющим создавать магнитное поле в направлении, перпендикулярном вектору рассеяния.

Выбор исследуемого состава обусловлен тем, что в нем возможен $F \rightarrow SG$ переход по температуре (рис. a) и максимальны малоугловое рассеяние нейтронов³ и магнитная вязкость¹⁰. Важно отметить, что в сплаве близкого состава величина магнитного поля, подав-

ляющего низкотемпературную аномалию намагниченности, отражающую $F \rightarrow SG$ переход составляет около 2 кЭ^{11, 12}.



Малоугловое рассеяние нейтронов в спиновом стекле $Fe_{65}Ni_{25}Cr_{10}$: а – температурная зависимость интенсивности при $H = 0$, $2\theta = 0^{\circ} 50'$; б – угловые зависимости при температуре 4,2К (\bullet – $H = 0$, \circ – $H = 4$ кЭ) и 77К (\times). Кривые 1 и 2 сняты при $2\theta = 0^{\circ} 50'$ в процессе наложения и снятия магнитного поля при температурах 4,2 и 77К соответственно

На рис. 6 представлены результаты измерений, осуществленных в следующей последовательности: 1) охлаждение образца до 4,2К в отсутствии внешнего магнитного поля, 2) съемка угловой зависимости рассеяния нейтронов при 4,2К и $H = 0$, 3) счетчик нейтронов установлен на угол $2\theta = 0^{\circ} 50'$ и, после снятия нескольких контрольных точек при $H = 0$ (см. участок I кривой 1, рис. 6), включалось магнитное поле 4 кЭ и измерялась временная зависимость интенсивности (участок II), 4) съемка угловой зависимости рассеяния нейтронов при 4,2К и $H = 4$ кЭ, 5) счетчик возвращался в исходное положение $2\theta = 0^{\circ} 50'$ и, после выключения поля, измерялась временная зависимость интенсивности при $H = 0$ (участок III). С целью исключения систематической ошибки весь цикл измерений был повторен трижды.

В случае, когда основным состоянием исследуемого сплава было бы спиновое стекло, образовавшееся в результате $F \rightarrow SG$ перехода, следовало ожидать, что интенсивность малоуглового рассеяния при 4,2К под влиянием магнитного поля 4 кЭ (вдвое превышающего поле, подавляющее $F \rightarrow SG$ переход^{11, 12}), уменьшится в 2 – 2,5 раза (ΔI на рис. а). Однако, как видно из рис. 6, действительное уменьшение интенсивности ΔI_H составляет всего около 10%. Отсюда следует, что под воздействием магнитного поля, которое, казалось, подавляет $F \rightarrow SG$ переход, степень магнитной неоднородности, пространственная структура спинового стекла меняется незначительно. Указанное обстоятельство, по нашему мнению, свидетельствует не в пользу концепции двойного $F \rightarrow SG$ перехода.

Кривая 1 рис. 6 показывает динамику установления равновесной пространственной структуры при 4,2К. Видно, что вязкое изменение магнитной структуры, как и намагниченности¹⁰, не проявляется в больших магнитных полях. Действительно, время релаксации после включения поля $\tau_H < 40$ сек, а после выключения поля $\tau_0 \sim 10$ мин. Отметим, что при измерениях магнитной вязкости близкого состава¹⁰ намагниченность изменялась в течение 30 минут и более.

После нагрева образца в нулевом поле до 77К, аналогичные измерения были проведены в поле 3,5 кЭ, но, как видно из кривой 2 рис. 6, в этом случае магнитное поле не изменяет малоугловое рассеяние, что согласуется с данными¹⁰, где магнитная вязкость при 77К

также не наблюдалась. Эти факты естественно объясняются, если учесть, что температура замерзания исследуемого спинового стекла $T_{SG} = 75\text{K}$ (рис. а).

Совокупный анализ представленных результатов позволяет заключить, что под влиянием магнитного поля в системе происходит лишь частичный переход в пространственно более однородное ферромагнитно упорядоченное состояние.

Магнитная вязкость, фиксируемая в данном нейтронографическом эксперименте после снятия магнитного поля, обусловлена медленным обратным $F \rightarrow SG$ переходом. Однако малые величины ΔI_H и τ_0 свидетельствуют о том, что главный механизм вязкости, наблюдаемой в измерениях намагниченности¹⁰, связан с медленной релаксацией намагниченности подсистемы кластерного спинового стекла как такового.

Автор благодарен проф. Л.Н.Ларикову и Г.А.Такзею за дискуссии, стимулировавшие постановку настоящей работы.

Литература

1. Mokhov B.N., Puzei I.M., Tretyakov B.N. JMMM, 1980, 20, 91.
2. Медведев М.В., Зaborов А.В. ФММ, 1981, 52, 942.
3. Мохов Б.Н. Магнитная структура 3d-сплавов со смешанным обменным взаимодействием. Канд. диссертация, М.: МГУ, 1979.
4. Verbeek B.H., Mydosh J.A. J. Phys. F, 1978, 8, L109.
5. Kirkpatrick S., Sherrington D. Phys. Rev., 1978, B17, 17.
6. Verbeek B.H., Nieuwenhuys G.J., Stocker H., Mydosh J.A. Phys. Rev. Lett., 1978, 40, 586.
7. Beck P.A. Solid State Com., 1980, 34, 581.
8. Murani A.P. Solid State Com., 1980, 34, 705.
9. Роде В.Э., Дерябин А.В., Пислярь И.Г. ФММ, 1975, 40, 1110.
10. Дерябин А.В., Пислярь И.Г. ФТТ, 1978, 20, 3456.
11. Меньшиков А.З., Сидоров С.К., Теплыых А.Е. ФММ, 1978, 45, 949.
12. Такзей Г.А., Сыч И.И., Меньшиков А.З., Теплыых А.Е. ФММ, 1981, 52, 960.